

# 《数字图像处理》作业 2

学号: SA21229075      姓名: 陈文博

2020 年 10 月 05 日

## 1 作业要求:

实现如下图像变形算法

- **IDW warping**:: Inverse distance-weighted interpolation method Detlef Ruprecht and Heinrich Müller. Image warping with scattered data interpolation. IEEE Computer Graphics and Applications, 1995.
- **RBF warping**:: Radial basis function interpolation method Nur Arad and Daniel Reissfeld. Image Warping Using Few Anchor Points and Radial Functions. Computer Graphics Forum, 14(1): 35-46, 1995.

## 2 开发环境

**IDE**: Microsoft Visual Studio 2019 Community

**CMake**: 3.14.0

**相关依赖库**: std\_image, spdlog, imgui, glm, glfw, glad, entt, OpenCV, OpenMP 等

### 3 交互界面

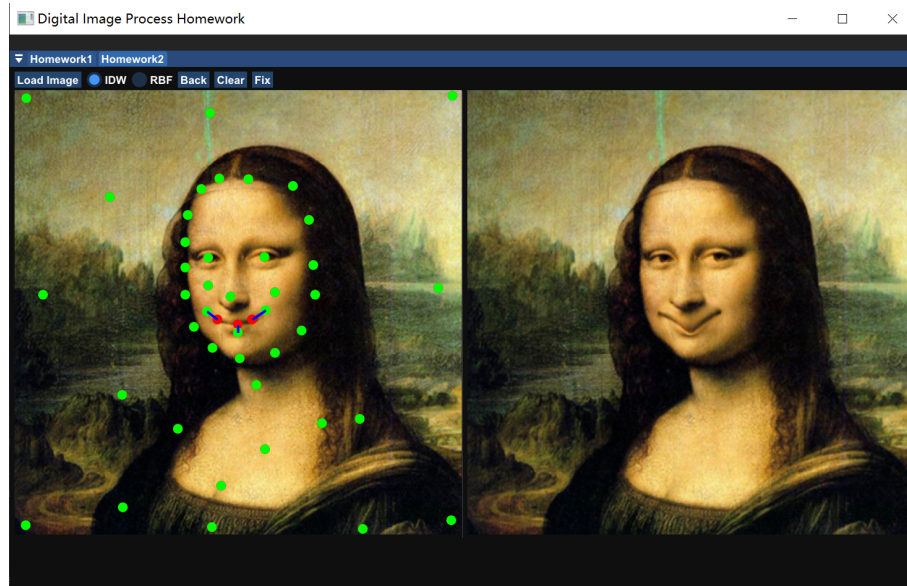


图 1: 交互界面说明

- 使用 OpenMP 进行并行化加速，充分发挥多核处理器性能
- 在不进行填充修复的情况下能够实现实时拖拽编辑，显示算法结果

### 4 算法原理

#### 4.1 基本原理

- 输入:  $n$  对控制点对  $(\mathbf{p}_i, \mathbf{q}_i)$ ,  $i = 1, 2, \dots, n$ , 其中  $\mathbf{p}_i \in \mathbb{R}^2$  为控制起始点,  $\mathbf{q}_i \in \mathbb{R}^2$  为控制目标点
- 目标: 找到一个映射  $f: \mathbb{R}^2 \rightarrow \mathbb{R}^2$ , 满足  $f(\mathbf{p}_i) = \mathbf{q}_i$ ,  $i = 1, 2, \dots, n$

## 4.2 Inverse distance-weighted interpolation methods(IDW) [2]

IDW 算法基本原理是根据给定的控制点对和控制点对的位移矢量，计算控制点对周围像素的反距离加权权重影响，实现图像每一个像素点的位移。

选择  $n$  对控制点对  $(\mathbf{p}_i, \mathbf{q}_i)$ ,  $i = 1, 2, \dots, n$ , 目标映射  $f: \mathbb{R}^2 \rightarrow \mathbb{R}^2$  可表示成以下形式：

$$f(\mathbf{p}) = \sum_{i=1}^n \omega_i(\mathbf{p}) f_i(\mathbf{p}) \quad (1)$$

其中，权重  $\omega_i(\mathbf{p})$  满足：

$$w_i(\mathbf{p}) = \frac{\sigma_i(\mathbf{p})}{\sum_{j=1}^n \sigma_j(\mathbf{p})} \quad (2)$$

$\sigma_i(\mathbf{p})$  反映第  $i$  对控制点对像素  $\mathbf{p}$  得反距离加权权重影响程度，可以直接取：

$$\sigma_i(\mathbf{p}) = \frac{1}{\|\mathbf{p} - \mathbf{p}_i\|^\mu} \quad (3)$$

其中  $\mu > 1$ ，也可以取 locally bounded weight：

$$\sigma_i(\mathbf{p}) = \left[ \frac{R_i - d(\mathbf{p}, \mathbf{p}_i)}{R_i d(\mathbf{p}, \mathbf{p}_i)} \right]^\mu \quad (4)$$

$f_i$  为线性函数，满足：

$$f_i(\mathbf{p}) = \mathbf{q}_i + \mathbf{T}_i(\mathbf{p} - \mathbf{p}_i) \quad (5)$$

其中  $\mathbf{T}_i$  为二阶矩阵：

$$\mathbf{T}_i = \begin{bmatrix} t_{11}^{(i)} & t_{12}^{(i)} \\ t_{21}^{(i)} & t_{22}^{(i)} \end{bmatrix} \quad (6)$$

矩阵  $\mathbf{T}$  得确定，可以通过求解如下最优化问题：

$$\arg \min_{\mathbf{T}_i} E(\mathbf{T}_i) = \sum_{j=1, j \neq i}^n \sigma_i(\mathbf{p}_j) \|\mathbf{q}_j - f_i(\mathbf{p}_j)\|^2 \quad (7)$$

上式对  $\mathbf{T}_i$  求导，令方程为 0 得：

$$\sum_{j=1, j \neq i}^n \sigma_i(\mathbf{p}_j) (\mathbf{p}^T \mathbf{q} - \mathbf{p}^T \mathbf{T}_i \mathbf{p}) = 0 \quad (8)$$

其中  $\mathbf{p} = \mathbf{p}_j - \mathbf{p}_i$ ,  $\mathbf{q} = \mathbf{q}_j - \mathbf{q}_i$ , 通过变形可得到:

$$\mathbf{T}_i \sum_{j=1, j \neq i} \sigma_i(\mathbf{p}_j) \mathbf{p} \mathbf{p}^T = \sum_{j=1, j \neq i} \sigma_i(\mathbf{p}_j) \mathbf{q} \mathbf{q}^T \quad (9)$$

又  $\sigma_i(\mathbf{p}_j) \mathbf{p} \mathbf{p}^T$  非奇异, 因此可以直接解出  $\mathbf{T}_i$  的值:

$$\mathbf{T}_i = \left( \sum_{j=1, j \neq i} \sigma_i(\mathbf{p}_j) \mathbf{q} \mathbf{q}^T \right) \left( \sum_{j=1, j \neq i} \sigma_i(\mathbf{p}_j) \mathbf{p} \mathbf{p}^T \right)^{-1} \quad (10)$$

求出  $\mathbf{T}_i (i = 1, \dots, n)$  后, 映射  $f$  也就相应确定

### 4.3 Radial basis functions interpolation method(RBF) [1]

选择  $n$  对控制点对  $(\mathbf{p}_i, \mathbf{q}_i)$ ,  $i = 1, 2, \dots, n$ , 目标映射  $f: \mathbb{R}^2 \rightarrow \mathbb{R}^2$  可表示为以下形式:

$$f(\mathbf{p}) = \sum_{i=1}^n \alpha_i g_i(\|\mathbf{p} - \mathbf{p}_i\|) + \mathbf{A} \mathbf{p} + \mathbf{B} \quad (11)$$

其中,  $g_i$  为径向基函数, 通常可以取 Hardy multiquadrics:  $g(t) = (t^2 + c^2)^{\pm \frac{1}{2}}$  或高斯函数  $g_\sigma(t) = e^{-t^2/\sigma^2}$ , 为了计算方便, 这里取 Hardy multiquadrics:

$$g_i(d) = (d + r_i)^{\pm \frac{1}{2}} \quad (12)$$

$$r_i = \min_{j \neq i} d(\mathbf{p}_i, \mathbf{p}_j)$$

对于线性部分分量  $\mathbf{A} \mathbf{p} + \mathbf{B}$ , 本例简单地取  $\mathbf{A} = \mathbf{I}$  和  $\mathbf{B} = \mathbf{0}$

## 5 实验效果

### 5.1 标准图像测试

如下图所示，固定四角，蓝色为控制起始点，绿色为控制终止点

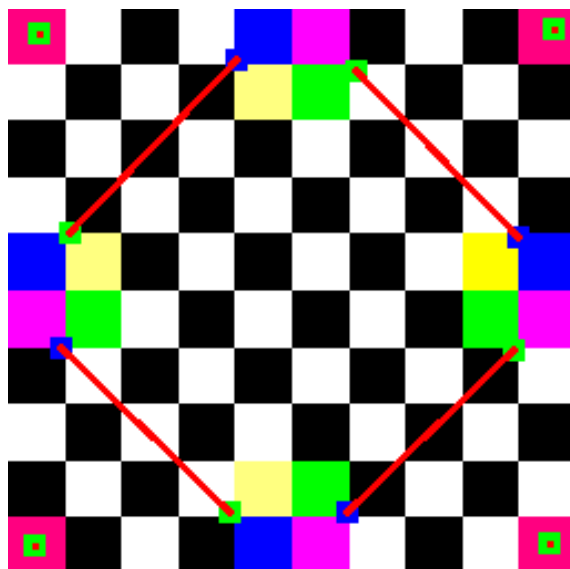


图 2: 拉伸情况

### 5.2 IDW 算法

#### 5.2.1 $\mu = -1$ 情况

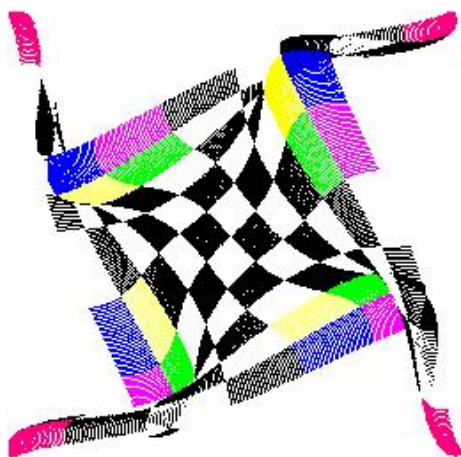


图 3: 修复前

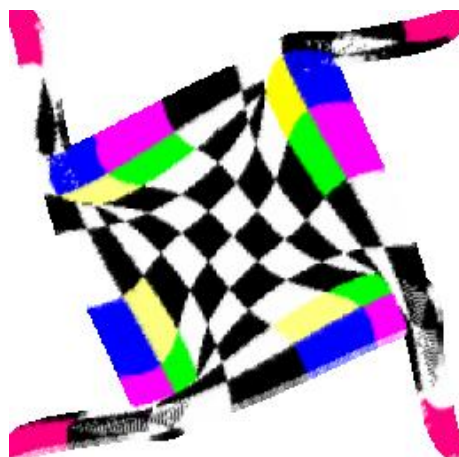


图 4: 修复后

### 5.2.2 $\mu = 1$ 情况

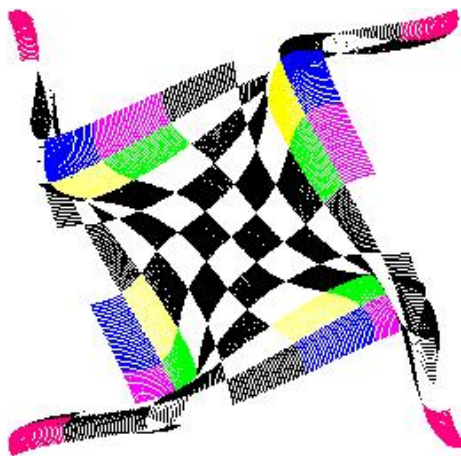


图 5: 修复前

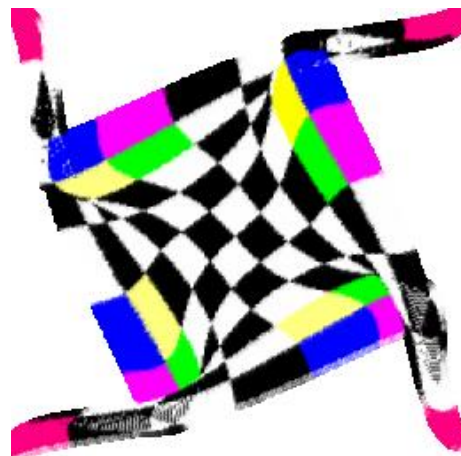


图 6: 修复后

## 5.3 RBF 算法

### 5.3.1 $\mu = 0.5$ 情况

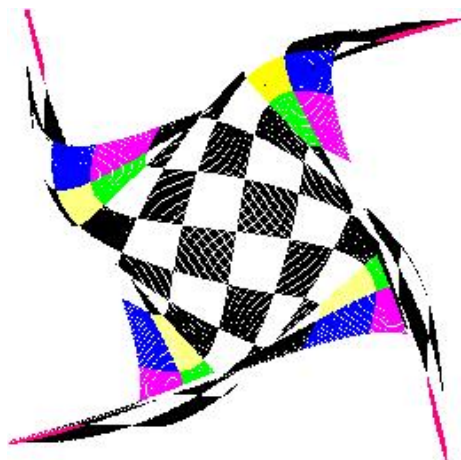


图 7: 修复前



图 8: 修复后

### 5.3.2 $\mu = -0.5$ 情况

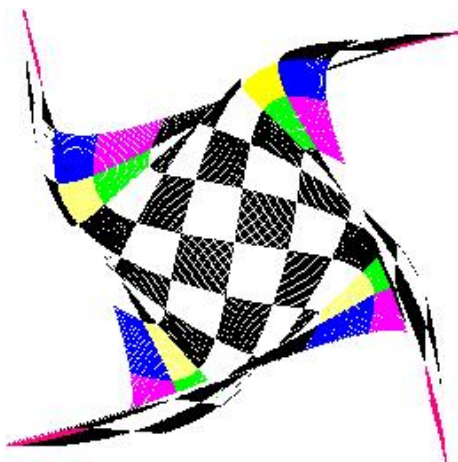


图 9: 修复前



图 10: 修复后

## 5.4 其他测试

### 5.4.1 柴犬表情包

原图片:



图 11: 原始图片



处理后:



图 12: Happy



图 13: Emmm...

#### 5.4.2 面带表情的藏狐



图 14: 未处理



图 15: 处理后



## 6 总结

本例中使用 IDW 和 RBF 两种方法进行图像的拉伸变换，理论上 IDW 和 RBF 的运算复杂度均为  $O(n^2 + nN)$ ，而由于实际运算中，IDW 计算一个像素点的浮点乘法加法次数比 RBF 方法更多，在实验中也可以发现 RBF 处理速度要比 IDW 快 3 到 4 倍

## A 附录

实验源码地址：<https://github.com/Chaphlagical/DIP>

项目构建、编译方法于 README.md 中给出

## 参考文献

- [1] N. Arad and D. Reisfeld. Image warping using few anchor points and radial functions. In *Computer graphics forum*, volume 14, pages 35–46. Wiley Online Library, 1995.
- [2] D. Ruprecht and H. Muller. Image warping with scattered data interpolation. *IEEE Computer Graphics and Applications*, 15(2):37–43, 1995.